

# تحلیل عددی اثرات لایه‌بندی بر انتقال امواج حاصل از انفجار در محیط‌های سنگی

حسن بخشندۀ افندیه (استادیار)

دانشکده‌ی مهندسی، دانشگاه کاشان

عبدالرحیم جواهربیان (استاد)

مؤسسه‌ی زوافیزیات دانشگاه تهران

کاظم نجم (دکتری)

شرکت خدمات مهندسی مکانیک سنگ پیستون

در این تحقیق انتشار امواج حاصل از انفجار در یک توده‌سنگ گرانیت و اندرکنش امواج با لایه خاک توسط برنامه‌ی رایانه‌ی UDEC شبیه‌سازی شده است. برای این منظور از موج ضربه‌ی ناشی از انفجار به صورت تابعی مثلى با بیشینه دامنه‌ی  $16/5$  گیگاپاسکال و پهناهی زمانی  $0/0$  تا  $0/8$  میلی‌ثانیه استفاده شد که این تابع به دیواره‌ی یک چال انفجاری به قطر  $200$  میلی‌متر وارد شد. مقایسه‌ی نتایج تحلیل عددی در امتداد فصل مشترک سنگ-خاک با نتایج حاصل از اندازه‌گیری‌های صحرابی و رابطه‌ی تجربی دو دینگ<sup>۱</sup> حاکی از مطابقت خوب مقادیر حاصل از روش عددی و اندازه‌گیری‌های صحرابی نشان می‌دهد.

bakhshandeh@kashanu.ac.ir  
javaheri@ut.ac.ir  
brmsirn@yahoo.co.uk

واژگان کلیدی: تحلیل عددی، انتشار امواج، انفجار، لایه‌بندی.

## ۱. مقدمه

فیزیکی و ژئومکانیکی و درنتیجه تغییر مقاومت لرزه‌ی دو محیط، بخشی از انرژی موج منتقل می‌شود و بخشی از آن نیز به محیط اولیه بازمی‌گردد. میران انرژی منتقل شده به عوامل محیطی (نظیر خصوصیات مقاومتی سطح مشترک)، زاویه برخورد و ویژگی‌های محیط واقع در دو طرف سطح مشترک) بستگی دارد<sup>[۱]</sup>. در این تحقیق با استفاده از روش اجزاء مجزای کلی<sup>۲</sup> (UDEC) که قابلیت تحلیل دینامیکی دارد، چگونگی انتشار و اثر امواج ضربه‌یی حاصل از انفجار یک چال به قطر  $200$  میلی‌متر و فشار انفجار  $16/5$  گیگاپاسکال در محدوده‌ی به بعد از انفجار مواد منفجره در داخل یک توده‌سنگ، در مدت زمانی بسیار کوتاه انرژی قابل توجهی آزاد می‌شود. بخشی از انرژی ماده منفجره صرف خردشدن توده‌سنگ می‌شود، و بخش زیادی از آن نیز به صورت امواج در درون توده‌سنگ در برگیرنده‌ی چال انفجاری منتشر می‌شود و ذرات محیط را به ارتعاش درمی‌آورد. بنابراین توده‌سنگ به عنوان محیط انتقال دهنده‌ی امواج، بارهای ضربه‌یی را به سازه‌های سنگی، سیستم‌های نگهدارنده، مناطق مسکونی و تأسیسات مجاور محل انفجار منتقل می‌کند.

انتشار امواج در درون زمین به ویژگی‌های کشسان محیط در برگیرنده و منبع ایجاد تنش وابسته است. در توده‌سنگ‌های ناهمگن<sup>۳</sup> امواج در تمام جهات منتشر می‌شوند و ذرات محیط را به ارتعاش درمی‌آورند. امواج حین انتشار در توده‌سنگ، به دلیل انعکاس و انتقال‌های متعدد موج و جذب انرژی در فصل مشترک سطوح تضییف می‌شوند<sup>[۱]</sup>. از نقطه‌نظر طراحی ژئومکانیکی، توده‌سنگ‌ها عمدتاً ناپیوسته و اغلب ناهمگاند و خواص ناهمسانگرد<sup>۴</sup> دارند. طبیعت و توزیع عوارض ساختاری در داخل توده‌سنگ مانند لایه‌بندی‌ها، گسل‌ها و دسته‌درزه‌ها پاسخ توده‌سنگ را به بارگذاری‌های استاتیکی و دینامیکی تحت تأثیر قرار می‌دهد و در خلال انتشار موج از میان توده‌سنگ موجب تغییر پارامترهای موج -- مانند دامنه‌ی جابه‌جایی ذره، بیشینه سرعت ذره، بیشینه شتاب ذره و دوام موج، که از مهم‌ترین معیارهای پیش‌بینی میران خسارت ناشی از انفجار به محیط هستند -- خواهد شد. هنگامی که موج به فصل مشترک دو محیط برخورد می‌کند، براثر تغییر خواص

## ۲. مطالعات میدانی بررسی انتشار امواج حاصل از انفجار در توده‌سنگ گرانیتی و لایه خاک

در سال  $2003$  محققین در یک معدن سنگ گرانیت واقع در سنگ‌آپور با نصب شتاب‌نگارهایی در نقاط مشخص شده در فصل مشترک سنگ-خاک و سطح خاک و با انجام یک سری آزمایش‌های صحرابی، اثر انتشار امواج حاصل از انفجار را بر فصل مشترک سنگ-خاک و بر روی سطح خاک، و نیز مقادیر بیشینه‌ی

تاریخ: دریافت ۱۳۸۶/۰۴/۲۳، داوری ۱۳۸۶/۱۱/۱، پذیرش ۱۳۸۷/۰۱/۲۰.

روابط تجربی میرایی به ترتیب برای فصل مشترک سنگ-خاک و سطح خاک در حالت جفت‌شدگی کامل چنین محاسبه شد:

$$PPV = 4535,2 \left( \frac{R}{Q^{\frac{1}{4}}} \right)^{-1,84} \quad (1)$$

$$PPV = 3368,3 \left( \frac{R}{Q^{\frac{1}{4}}} \right)^{-1,91} \quad (2)$$

که در آن  $R$  فاصله‌ی نقطه‌ی اندازه‌گیری تا مرکز انفجار بر حسب متر و  $Q$  وزن خرج تی ان‌تی معادل بر حسب کیلوگرم، و  $PPV$  بیشترین سرعت ذره بر حسب میلی‌متر بر ثانیه است.

روابط میرایی بیشترین سرعت ذره که طبق روابط ۱ و ۲ به دست آمده‌اند با روابط تجربی دو دینگ مقایسه شده‌اند. در سال ۱۹۸۵ دو دینگ رابطه‌ی تجربی ۳ را برای برآورد بیشترین سرعت ذره در منطقه‌ی همگن، و رابطه‌ی ۴ را برای برآورد بیشترین سرعت ذره در منطقه‌ی دولایه ارائه کرد.<sup>[۴]</sup>

$$PPV = 18,3 \left( \frac{30,5}{R} \right)^{1,46} \left( \frac{Q}{4,54} \right)^{0,48} \left( \frac{2,4}{\rho} \right)^{0,48} \quad (3)$$

$$PPV = 1979,9 \frac{R_1 C_1 + R_2 C_2}{R_1 + R_2} \left( \frac{R_1 (\rho_1 C_1)^{\frac{1}{4}} + R_2 (\rho_2 C_2)^{\frac{1}{4}}}{Q^{\frac{1}{4}}} \right)^{-1,46} \quad (4)$$

که در آنها  $\rho$  چگالی توده‌سنگ،  $R_1$  و  $R_2$  فاصله‌ی نقطه‌ی اندازه‌گیری تا مرکز انفجار بر مبنای سریع‌ترین مسیر حرکت موج در هر لایه،  $C_1$  و  $C_2$  سرعت‌های موج تراکمی در هر دو لایه، و  $\rho_1$  و  $\rho_2$  چگالی‌های دولایه است.

با آزمایش‌های صحرایی کوچک مقایس انجام شده در سنگ‌پور در محیط توده‌سنگ گرانیت و لایه خاک، روابط میرایی سرعت ذره‌ی بیشینه و شتاب ذره‌ی در سطح خاک و فصل مشترک سنگ-خاک محاسبه شدند. نتایج حاصل از انفجارهای انجام شده در سال ۲۰۰۳ نشان می‌دهند که بیشترین سرعت ذره‌ی برآورد شده با رابطه‌ی تجربی دو دینگ، بالاخص برای فواصل مقیاس شده‌ی کوچک و داده‌های اندازه‌گیری شده‌ی صحرایی، تقاضه‌ای دارند.

### ۳. تحلیل آزمایش‌های میدانی انجام شده به روش عددی

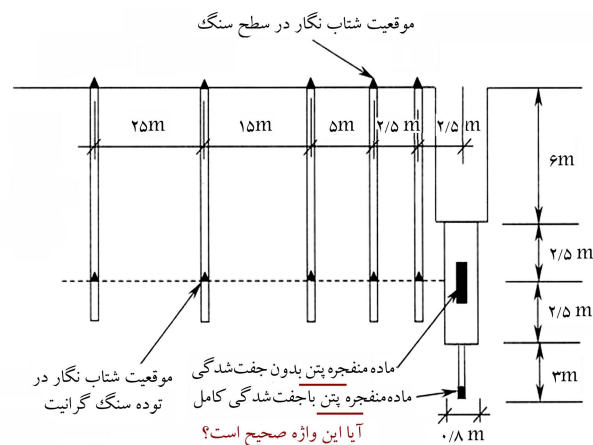
برای تحلیل عددی فرایند انفجار یک چال در توده‌سنگ گرانیت از روش اجزاء مجزای کلی استفاده شده است. این روش قابلیت شبیه‌سازی تمام فرایند انفجار را ندارد. به همین دلیل اطلاعات اولیه‌ی شرایط انفجار باید به روش‌های دیگر پیش‌بینی شوند.<sup>[۵]</sup> در این مدل از اطلاعات ورودی انفجار شاملتابع مشاهده دامنه‌ی ۱۶,۵ گیگاپاسکال و پهنه‌ی زمانی ۰,۰۸ تا ۰,۱۰ میلی‌ثانیه استفاده شد. بیشینه دامنه‌ی تابع مذکور از رابطه‌ی نیمه‌تجربی ۵ که در بخش بعدی به آن اشاره شده، به دست آمده است.<sup>[۶]</sup> فشار دینامیکی اعمال شده روی دیواره‌ی چال به صورت بار نرمال و به طور یکنواخت بر آن اعمال شده است.

#### ۱.۳. شبیه‌سازی آزمایش انجام شده در توده‌سنگ گرانیت و لایه خاک

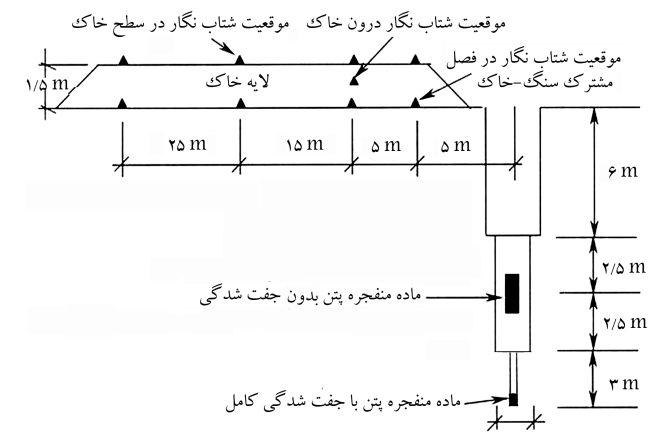
به منظور حل عددی مسئله‌ی آزمایش شده توسط و، از یک نمونه توده‌سنگ گرانیت با پوششی از لایه خاک استفاده شده است. اطلاعات فیزیکی و ژئومکانیکی توده‌سنگ

شتاب ذره و سرعت ذره را ثبت کردند.<sup>[۳]</sup> بدین ترتیب آنها روابط میرایی بیشترین روابط ذره و بیشترین سرعت ذره (به دست آمده از طریق آزمایش‌های صحرایی) را با روابط تجربی دو دینگ مقایسه کردند. قبل از عملیات انفجار، یک لایه خاک رس به ضخامت ۱/۵ متر روی محدوده‌ی از سطح صاف معدن سنگ ساخته شده ریخته شده، و سپس لایه خاک متراکم و به طور صحیح ترازبندی شد تا چگالی و میزان رطوبت محتوای آن معادل خاک طبیعی شود. به طور کلی ۸ انفجار با ماده‌ی منفجره پن و خرج تی ان‌تی معادل ۲,۵ تا ۵۰ کیلوگرم انجام شد. برای بررسی تأثیر جفت‌شدگی کامل، ماده‌ی منفجره در عمق ۱۵,۵ متری از سطح لایه خاک در چالی به قطر ۲۰۰ میلی‌متر به صورت خرج کروی جانمایی شد و شتاب نگارها نیز در فصل مشترک سنگ-خاک و سطح خاک به فواصل ۵، ۱۰، ۲۵ و ۵۰ متری از مرکز چال انفجاری نصب شدند. جزئیات طرح در شکل‌های ۱ و ۲ نشان داده شده است.<sup>[۲]</sup>

داده‌های ثبت شده توسط شتاب نگارها حاکی از آن است که بیشترین سرعت ذره‌ی و بیشترین شتاب ذره‌ی حاصل از انفجار با جفت‌شدگی کامل بزرگ‌تر از مقدار ثبت شده از انفجار با عدم جفت‌شدگی است. با استفاده از داده‌های ثبت شده،



شکل ۱. جزئیات طرح مورد استفاده در آزمایش صحرایی اثر انتشار امواج حاصل از انفجار روی فصل مشترک سنگ-خاک و سطح خاک معدن سنگ گرانیت واقع در سنگاپور.<sup>[۳]</sup>



شکل ۲. مقطع قائم معدن سنگ گرانیت، لایه خاک، چال انفجاری و موقعیت ثبت دستگاه‌های شتاب نگار در محدوده‌ی آزمایش صحرایی واقع در سنگاپور.<sup>[۳]</sup>

### ۲.۳ سازوکار انفجار فرض شده برای یک چال با خروج کروی

به طور کلی طی فرایند انفجار، محیط به طور تقریبی در دو مرحله بارگذاری می‌شود. در مرحله اول بارگذاری توسط موج ضربه انجام می‌شود، و در مرحله بعد انسباط گارهای حاصل از انفجار باعث بارگذاری مجدد محیط اطراف می‌شود. در این تحقیق پیشنهاد فشار دینامیکی اعمالی بر دیواره محفظه ای انفجار (فشار انفجار) با استفاده از رابطه ۵ محاسبه شده، که در آن ویژگی‌های توده‌سنگ و ماده متفجره برای محاسبه فشار انفجار به کار گرفته شده است<sup>[۶]</sup>:

$$P_m = 1,62 \times (\rho_e \times VOD^r) \times \left( \frac{\rho_p \times V_p}{\rho_e \times VOD} \right)^{0,25} \quad (5)$$

در این رابطه  $\epsilon$  چگالی ماده متفجره (برحسب  $gr/cm^3$ )،  $VOD$  سرعت انفجار ماده متفجره (برحسب  $km/s$ )،  $\rho_p$  چگالی توده‌سنگ (برحسب  $gr/cm^3$ ) و  $P_m$  پیشنهاد فشار دینامیکی روی دیواره چال (برحسب  $Kbar$ ) است. خصوصیات توده‌سنگ، ماده متفجره و هندسه چال انفجار در جداول ۱ و ۳ آرائه شده است. با قراردادن مقادیر پارامترهای فوق در رابطه ۵ پیشنهاد فشار دینامیکی (فشار انفجار) برای توده‌سنگ گرانیتی مذکور به میزان ۱۶/۵ گیکاپاسکال محاسبه می‌شود. همچنین با توجه به سرعت زیاد سوختن ماده متفجره فرض شده است که پس از سوختن تمام ستون ماده متفجره با راحله به محیط اعمال می‌شود.

### ۳. هندسه‌ی مدل و شرایط مرزی توده‌سنگ گرانیتی و لایه خاک

توده‌سنگ گرانیت همراه با لایه خاک مدل سازی شده برای تحلیل تأثیر لایه‌بندی بر انتشار امواج حاصل از انفجار در محدوده به طول ۶۰ متر و به عمق ۱۵/۵ متر در نظر گرفته شده و خروج انفجاری پتن در چالی به قطر ۲۰ میلی‌متر جانایی شده است. نشار انفجار معادل ۱۶/۵ گیکاپاسکال برآورد شده و موج ضربه‌ی ناشی از انفجار به طور پویا به دیواره چال انفجار اعمال شده است.

بعاد مدل با اعمال شرایط مرزی محدود شده است. شرایط مرزی گرانیت و مرزهای دو طرف مدل و مرز پائینی مدل اعمال شده است. همچنین برای جلوگیری از جابه‌جایی های برشی، مرزهای دو طرف مدل ثابت شده‌اند. برای بررسی اثر انعکاس از سطح آزاد، مرز بالایی مدل فاقد هرگونه محدودیتی است. در شکل ۳ هندسه‌ی مدل، شامل نحوه‌ی مش‌بندی، بعد مدل، موقعیت چال، ابعاد چال، موقعیت دستگاه‌های اندازه‌گیری و لایه‌بندی و شرایط مرزی -- نشان داده شده است.

در سال ۱۹۷۳ محققین نشان دادند که برای تحلیل درست و منطقی انتشار امواج به روش عددی، اندازه‌ی اجزاء استفاده شده برای مش‌بندی محیط ( $\Delta l$ ) باید کوچک‌تر از  $1/۱۰$  تا  $1/۱۲۵$  طول موج منتشره در محیط باشد<sup>[۸]</sup>.

$$\frac{\lambda}{10} \leq \Delta l \leq \frac{\lambda}{125} \quad (6)$$

در این رابطه  $\lambda$  طول موج ورودی است. سرعت موج تراکمی با توجه به پارامترهای فیزیکی و مکانیکی توده‌سنگ گرانیت از رابطه ۷ به دست می‌آید:

$$C_p = \sqrt{\frac{K + \frac{4G}{3}}{\rho}} \quad (7)$$

که در آن  $K$  مدول حجمی،  $G$  مدول برشی،  $\rho$  چگالی محیط است. با قراردادن خصوصیات کشسان محیط در رابطه ۷ اندازه‌ی سرعت موج تراکمی در توده‌سنگ

گرانیت و لایه خاک به ترتیب در جداول ۱ و ۲ آرائه شده است. این گرانیت سنگی سخت با بافت متراکم و بدون هوازده است و با توجه به نتایج آزمایشگاهی از کیفیت خوبی برخوردار است. برای مطالعه و بررسی تأثیر تناوب جنس توده‌سنگ، از یک چال کروی با جفت شدگی کامل که با ماده‌ی منفجره پتن خروج گذاری شده، استفاده شده است. با توجه به عدم دسترسی به مشخصات ماده‌ی منفجره استفاده شده در آزمایش‌های صحرایی، برای تحلیل عددی فرایند انفجار از خصوصیات ماده‌ی منفجره پتن با سرعت انفجار ۷۹۲۰ متر بر ثانیه استفاده شده است. همچنین انفجار در تمام طول خروج کروی به صورت همزمان فرض می‌شود. مشخصات چال و خروج مورد استفاده‌ی آن در جدول ۳ آرائه شده است.

جدول ۱. خصوصیات فیزیکی و ژئومکانیکی گرانیت سنگاپور<sup>[۳]</sup>.

ردیف	خصوصیات گرانیت سنگاپور	نماد	مقدار	واحد
۱	چگالی سنگ	$(\rho_r)$	۲,۶۱۰	$(gr/cm^3)$
۲	مدول یانگ	$(E_r)$	۷۳,۹	$(GPa)$
۳	مقاومت فشاری تک محوری سنگ	$(\sigma_c)$	۱۸۶	$(MPa)$
۴	نسبت پواسون	$(v)$	۰,۱۶	-
۵	مدول حجمی	$(K)$	۳۶,۲	$(GPa)$
۶	مدول برشی	$(G)$	۳۱,۸۵	$(GPa)$
۷	مقاومت کششی	$(\sigma_t)$	۱۶,۱	$(MPa)$
۸	سرعت امواج طولی	$(C_p)$	۵۷۹۰	$(m/s)$
۹	چسبندگی	$(C_0)$	۳۰	$(MPa)$
۱۰	زاویه اصطکاک داخلی	$(\phi)$	۶۰	$(Degree)$

جدول ۲. خصوصیات فیزیکی و ژئومکانیکی لایه خاک<sup>[۳]</sup>.

ردیف	خصوصیات خاک رس	نماد	مقدار	واحد
۱	چگالی	$(\rho_r)$	۱,۹۵۰	$(gr/cm^3)$
۲	مدول یانگ	$(E_r)$	۰,۰۲۴	$(GPa)$
۳	مقاومت فشاری تک محوری سنگ	$(\sigma_c)$	-	$(MPa)$
۴	نسبت پواسون	$(v)$	۰,۳۵	-
۵	مدول حجمی	$(K)$	۰,۰۲۶۶۷	$(GPa)$
۶	مدول برشی	$(G)$	۰,۰۸۸۹	$(GPa)$
۷	مقاومت کششی	$(\sigma_t)$	-	$(MPa)$
۸	سرعت امواج طولی	$(C_p)$	۸۸۰	$(m/s)$
۹	چسبندگی	$(C_0)$	۰,۰۰۰۷	$(MPa)$
۱۰	زاویه اصطکاک داخلی	$(\phi)$	۳۴	$(Degree)$

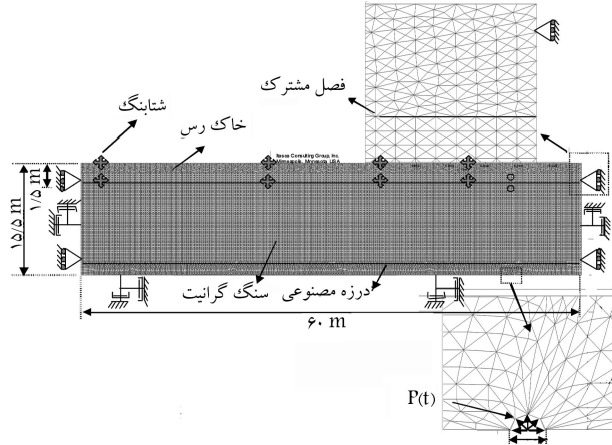
جدول ۳. خصوصیات ماده متفجره پتن و هندسه‌ی چال انفجاری<sup>[۷]</sup>.

ردیف	خصوصیات	نماد	مقدار	واحد
۱	چگالی پتن	$(\rho_e)$	۱,۶	$(gr/cm^3)$
۲	سرعت انفجار پتن	$(VOD)$	۷۹۲۰	$(m/s)$
۳	شعاع چال کروی	$(b)$	۱۰۰	$(mm)$

## ۲.۴. تغییرات بیشینه سرعت ذره‌بی براز عبور جبهه‌ی موج از فصل مشترک و سطح خاک

تغییرات بیشینه سرعت ذره‌بی در بلاک انفجار مدل‌سازی شده در فواصل  $5\text{ m}$  قبیل و بعد از فصل مشترک سنگ-خاک در راستای شعاعی، عمود بر فصل مشترک توده‌سنگ گرانیتی و لایه خاک از لحظه‌ی شروع انفجار (زمان صفر) تا زمان  $23\text{ s}$  میلی‌ثانیه در شکل ۵ نشان داده شده است. با شروع انفجار، بیشینه سرعت ذره برای نقاط در نظر گرفته شده برای فواصل مذکور از  $464\text{ m/s}$  میلی‌متر بر ثانیه به  $85,8\text{ m/s}$  متر بر ثانیه کاهش یافته است.

شکل‌های ۶ و ۷ به ترتیب تغییرات مؤلفه‌های قائم و افقی بیشینه سرعت ذره‌بی از لحظه‌ی شروع انفجار (زمان صفر) تا  $23\text{ s}$  میلی‌ثانیه در امتداد فصل مشترک سنگ-خاک و به فاصله‌های  $14,9\text{ m}$ ,  $17,2\text{ m}$ ,  $28,6\text{ m}$  و  $52\text{ m}$  از مرکز چال انفجاری، و شکل‌های ۸ و ۹ به ترتیب تغییرات مؤلفه‌های قائم و افقی سرعت ذره‌بی بیشینه از لحظه‌ی شروع انفجار (زمان صفر) به ترتیب تا  $23\text{ s}$  و  $35\text{ s}$  میلی‌ثانیه در امتداد



شکل ۳. هندسه‌ی مدل فیزیکی شامل نحوه‌ی مشبندی، ابعاد مدل، موقعیت چال، ابعاد چال، وضعیت لایه‌بندی و شرایط مرزی و نقاط اندازه‌گیری [۹].

گرانیت  $5490\text{ m/s}$  محاسبه و اندازه‌ی مش  $25\text{ cm}$  انتخاب شده است. به منظور بالا بردن دقیق محاسبات از درزه‌ی مصنوعی در فاصله‌ی  $2\text{ m}$  از مرکز چال انفجاری استفاده شده که افزایش یکنواختی توزیع مش در مدل شبیه‌سازی شده را در پی دارد.

## ۴.۳. انتخاب مدل رفتاری

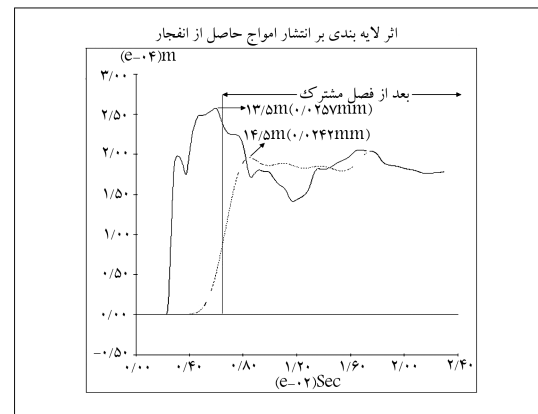
مدل موهر-کولمب<sup>۵</sup> که از جمله مدل‌های بیان‌گر رفتار خمیری<sup>۶</sup> برای مدل‌سازی توده‌های سنگی است در محدوده مدل‌سازی به کار گرفته شده است. این مدل دارای یک سطح تسلیم برخی<sup>۷</sup> است که با پارامترهای چسبندگی و زاویه‌ی اصطکاک داخلی تعریف می‌شود.

## ۴. نتایج حاصل از تحلیل عددی انفجار

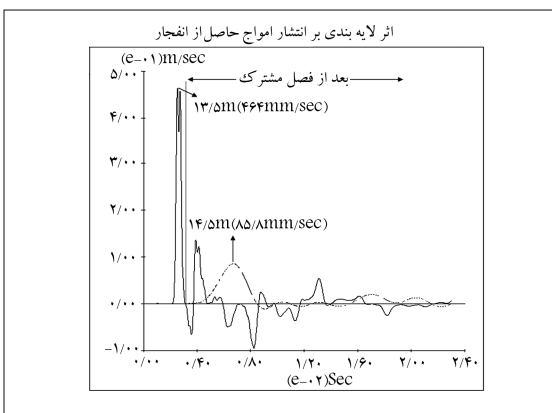
نتایج حاصله از اجرای روش اجراء محدود با استفاده از مدل رفتاری موهر-کولمب مشتمل بر: تغییرات جابه‌جایی ذره براز عبور جبهه‌ی موج تراکمی -- قبل و بعد از فصل مشترک -- در راستای شعاعی، تغییرات سرعت ذره‌بی بیشینه در امتداد فصل مشترک سنگ-خاک و سطح خاک، و نیز برآورد درصد انرژی انتقالی و انعکاسی از فصل مشترک سنگ-خاک است.

## ۴.۱. تغییرات جابه‌جایی ذره در راستای شعاعی براز عبور جبهه‌ی موج از فصل مشترک

تغییرات بیشینه جابه‌جایی ذره در بلاک انفجاری مورد نظر در فواصل  $13,5\text{ m}$  و  $14,5\text{ m}$  از مرکز چال انفجاری در راستای شعاعی در توده‌سنگ گرانیت و لایه‌خاک از لحظه شروع انفجار (زمان صفر) تا زمان  $23\text{ s}$  میلی‌ثانیه در شکل ۴ نشان داده شده است. چنان که مشاهده می‌شود جابه‌جایی ذره از  $257\text{ m}$  میلی‌متر به  $242\text{ m}$  میلی‌متر کاهش یافته است. همچنین شبیه‌سازی نمودار جابه‌جایی ذره نسبت به زمان برای نقاطی بعد از فصل مشترک کمتر از شبیه‌سازی نمودار جابه‌جایی ذره نسبت به زمان برای نقطه‌ی قبل از فصل مشترک است.



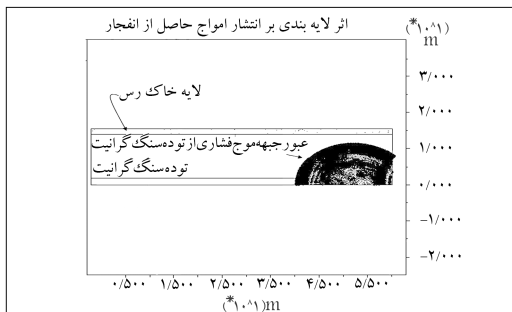
شکل ۴. تغییرات بیشینه جابه‌جایی ذره در راستای شعاعی عمود بر فصل مشترک سنگ-خاک از لحظه‌ی شروع انفجار (زمان صفر) تا زمان  $23\text{ s}$  میلی‌ثانیه برای فواصل  $13,5\text{ m}$  تا  $14,5\text{ m}$  (قبل و بعد از فصل مشترک سنگ-خاک) از مرکز چال در حالت خمیری.



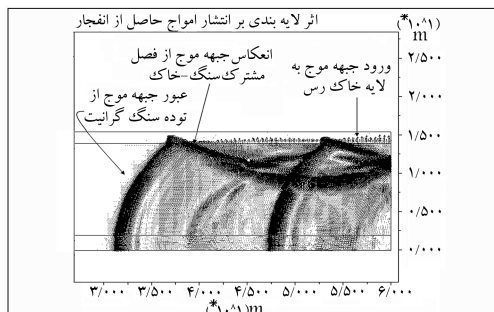
شکل ۵. تغییرات سرعت ذره‌بی حداکثر در راستای شعاعی عمود بر فصل مشترک سنگ-خاک از لحظه شروع انفجار (زمان صفر) تا زمان  $23\text{ s}$  میلی‌ثانیه برای فواصل  $13,5\text{ m}$  تا  $14,5\text{ m}$  (قبل و بعد از فصل مشترک سنگ-خاک) از مرکز چال در حالت خمیری.

سطح خاک و به فاصله‌های ۱۶,۳ متر، ۱۸,۴۵ متر، ۲۹,۴۲ متر و ۵۲,۳۵ متری از مرکز چال انفجاری را نشان می‌دهد. توزیع بردار بیشینه سرعت ذره و نحوه انتشار جبهه‌ی موج تراکمی در اطراف چال انفجاری پس از گذشت ۱,۸۱۸ میلی ثانیه در شکل ۱۰ نشان داده شده است. چنان که در شکل ۱۱ ملاحظه می‌شود جبهه‌ی موج تراکمی پس از رسیدن به فصل مشترک سنگ-خاک در زمان ۳,۶۴۲ میلی ثانیه از لحظه‌ی انفجار بخش کمی از انرژی به لایه خاک منتقل شده و بخش زیادی به درون توده سنگ گرانیت بازتابیده است.

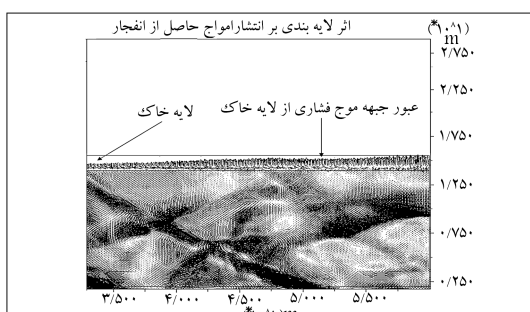
شکل ۱۲ بزرگ‌نمایی انتشار جبهه‌ی موج تراکمی به لایه‌ی خاک رس در زمان ۷,۲۹۱ میلی ثانیه را نشان می‌دهد. مقادیر مؤلفه‌های قائم و افقی بیشینه سرعت ذرهی حاصل از انفجار به ترتیب برای نقاط روی فصل مشترک سنگ-خاک و روی سطح خاک در جداول ۴ و ۵ نشان داده شده است.



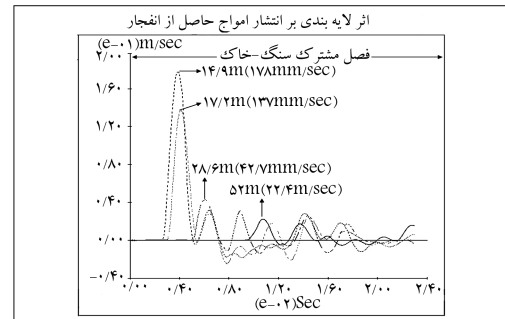
شکل ۱۰. انتشار جبهه‌ی موج تراکمی حاصل از انفجار در توده سنگ گرانیت در زمان ۱,۸۱۸ میلی ثانیه از انفجار.



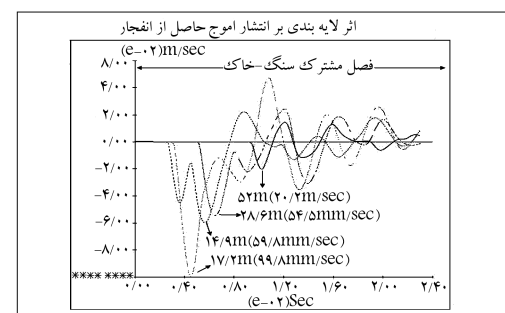
شکل ۱۱. وضعیت جبهه‌ی موج تراکمی به فصل مشترک سنگ-خاک در زمان ۳,۶۴۲ میلی ثانیه از انفجار.



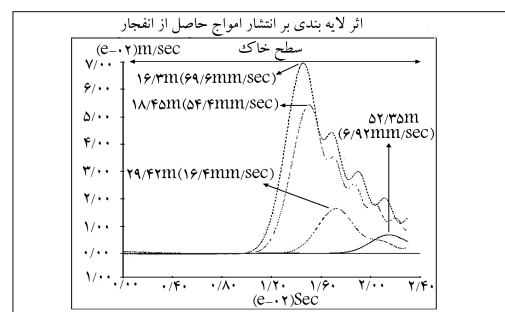
شکل ۱۲. بزرگ‌نمایی عبور جبهه‌ی موج تراکمی از لایه خاک در زمان ۷,۲۹۱ میلی ثانیه.



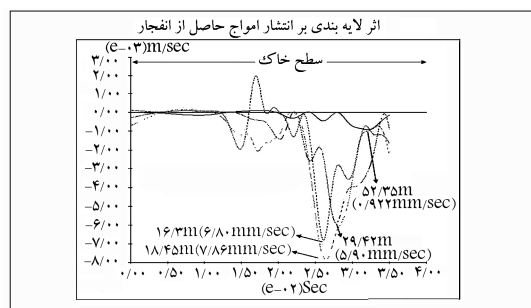
شکل ۶. تغییرات مؤلفه‌ی قائم بیشینه سرعت ذره در فصل مشترک سنگ-خاک از لحظه‌ی شروع انفجار (زمان صفر) تا زمان ۲۳ میلی ثانیه برای فاصله ۱۴,۹ تا ۵۲ متری مرکز چال انفجاری.



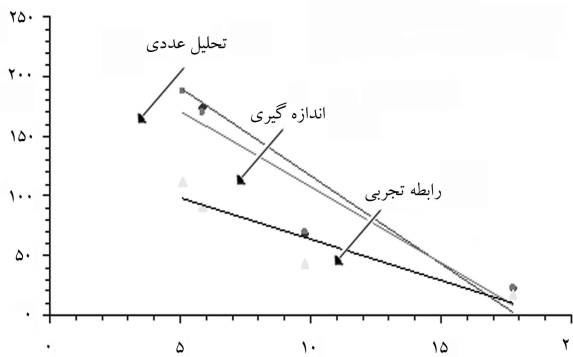
شکل ۷. تغییرات مؤلفه‌ی افقی بیشینه سرعت ذره در فصل مشترک سنگ-خاک از لحظه‌ی شروع انفجار (زمان صفر) تا زمان ۲۳ میلی ثانیه برای فاصله ۱۴,۹ تا ۵۲ متری مرکز چال انفجاری.



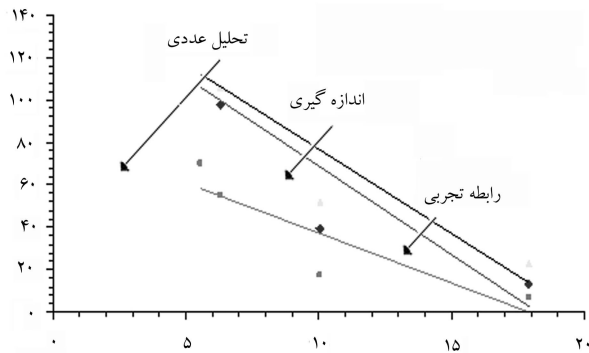
شکل ۸. تغییرات مؤلفه‌ی قائم سرعت ذره بیشینه در سطح خاک از لحظه‌ی شروع انفجار (زمان صفر) تا زمان ۲۳ میلی ثانیه برای فاصله ۱۶,۳ تا ۵۲,۳۵ متری مرکز چال انفجاری.



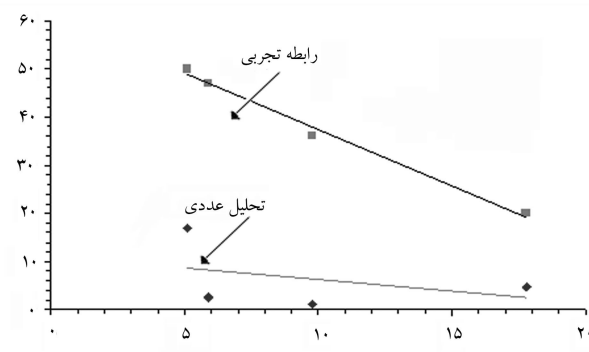
شکل ۹. تغییرات مؤلفه‌ی افقی سرعت ذره بیشینه در سطح خاک از لحظه شروع انفجار (زمان صفر) تا زمان ۳۵ میلی ثانیه برای فاصله ۱۶,۳ تا ۵۲,۳۵ متری مرکز چال انفجاری.



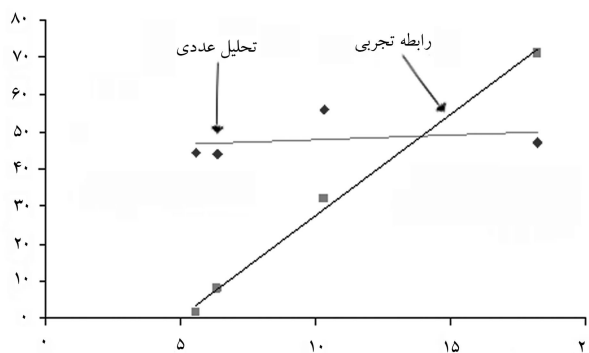
شکل ۱۳. رابطه‌ی مقادیر بیشینه سرعت ذره‌بی با فاصله‌ی مقیاس شده در فصل مشترک سنگ- خاک.



شکل ۱۴. رابطه‌ی مقادیر سرعت ذره‌بی بیشینه با فاصله‌ی مقیاس شده در سطح خاک.



شکل ۱۵. رابطه‌ی درصد اختلاف داده‌های صحرابی با روش عددی و دودینگ نسبت به فاصله‌ی مقام، شده در امتداد فصل مشترک سنگ- خاک.



شکل ۱۶. رابطه‌ی درصد اختلاف داده‌های صحرابی با روش عددی و دودینگ نسبت به فاصله‌ی مقیاس شده در سطح لایه خاک.

جدول ۴. مقادیر مؤلفه‌های قائم و افقی بیشینه سرعت ذره در فصل مشترک سنگ- خاک.

ردیف	اندازه‌گیری تا محل انفجار (m)	فاصله‌ی شعاعی نقاط	مؤلفه‌ی قائم (mm/s)	مؤلفه‌ی افقی (mm/s)
۱	۱۴,۹	۱۷۸	۵۹,۸	۱۷۸
۲	۱۷,۲	۱۳۷	۹۹,۸	۹۹,۸
۳	۲۸,۶	۴۲,۷	۵۴,۴	۵۴,۴
۴	۵۲	۲۲,۴	۷,۹۸	۷,۹۸

جدول ۵. مقادیر مؤلفه‌های قائم و افقی بیشینه سرعت ذره در سطح خاک.

ردیف	اندازه‌گیری تا محل انفجار (m)	فاصله‌ی شعاعی نقاط	مؤلفه‌ی قائم (mm/s)	مؤلفه‌ی افقی (mm/s)
۱	۱۶,۳	۶۹,۹	۶,۸	۶,۸
۲	۱۸,۴۵	۵۴,۴	۷,۸۶	۷,۸۶
۳	۲۹,۴۲	۱۶,۴	۰,۹	۰,۹
۴	۵۲,۳۵	۶,۹۲	۰,۹۲۲	۰,۹۲۲

## ۵. بحث

نتایج تحلیل عددی انتشار امواج حاصل از انفجار و اندرکنش آن با فصل مشترک سنگ- خاک و سطح خاک با نتایج به دست آمده از روش اندازه‌گیری‌های صحرابی وو و همکاران (۲۰۰۳) و روابط تجربی دودینگ مقایسه شده است. در جدول ۶ و ۷ مقادیر بیشینه سرعت ذره‌بی حاصل از انفجار در امتداد فصل مشترک سنگ- خاک و سطح خاک حاصل از روش عددی با روش‌های اندازه‌گیری صحرابی و روابط تجربی دودینگ (رابطه‌های ۱ و ۲) ارائه شده است. چنان که در جدول ۶ ملاحظه می‌شود، در امتداد فصل مشترک توده‌سنگ گرانیت و لایه خاک درصد اختلاف نتایج تحلیل عددی ناشی از اندازه‌گیری‌های صحرابی، از ۱/۲ تا ۱۷ درصد به ترتیب برای فواصل ۱۴,۹ متری تا ۵۲ متری از مرکز چال انفجاری تغییر می‌کند. این در حالی است که درصد اختلاف حاصل از روش تجربی دودینگ توده‌سنگ گرانیت و لایه خاک درصد اختلاف نتایج تحلیل عددی ناشی از اندازه‌گیری‌های صحرابی، از ۱/۲ تا ۱۷ درصد به ترتیب برای روابطی تجربی دودینگ، به اندازه‌گیری‌های صحرابی نزدیک است.

همان‌طور که در جدول ۷ ملاحظه می‌شود در سطح خاک درصد اختلاف نتایج روش عددی از اندازه‌گیری‌های صحرابی از ۴۳,۹ تا ۵۵,۷ درصد به ترتیب برای فواصل ۱۴,۹ متری تا ۵۲ متری از مرکز چال انفجاری تغییر می‌کند؛ درحالی که درصد اختلاف حاصل از روش تجربی دودینگ از اندازه‌گیری‌های صحرابی از ۱/۶ درصد تا ۷۱ درصد برای فواصل مذکور و در امتداد فصل مشترک خاک تغییر کرده است. علت این امر انتخاب مدل موهر-کولمب برای نمایش رفتار خمیری توده‌سنگ و لایه خاک است و از محدودیت‌های این روش در انتخاب مدل رفتاری مناسب برای توده‌ی خاکی است. این مدل برای نمایش رفتار خمیری لایه‌های خاکی مناسب نیست. همچنین شار انرژی ورودی، انتقالی و انعکاسی و درصدهای انرژی انتقالی و انعکاسی در جدول ۸ بیان شده است.

جدول ۶. مقایسه مقادیر حداکثر سرعت ذره‌بی حاصل از روش عددی، اندازه‌گیری‌های صحرایی و رابطه تجربی دودینگ در فصل مشترک سنگ - خاک.

درصد اختلاف داده‌های اندازه‌گیری شده‌ی صحرایی با روش عددی		بیشینه سرعت ذره (mm/s)			فاصله‌ی شعاعی نقاط اندازه‌گیری تا محل انفجار (m)	ردیف
روش عددی	روش دودینگ	روش عددی	روش صحرایی	روش دودینگ		
۵۰	۱۷	۱۱۲,۶۳	۱۸۷,۷۸	۲۲۶,۶	۱۴,۹	۱
۴۷	۲,۵	۹۱,۳	۱۶۹,۴۹	۱۷۴	۱۷,۲	۲
۳۶	۱,۲	۴۳,۴۷	۶۹,۱۶	۶۸,۲۸	۲۸,۶	۳
۲۰	۴,۶	۱۸,۱۶	۲۳,۷۸	۲۲,۷۳	۵۲	۴

جدول ۷. مقایسه مقادیر حداکثر سرعت ذره حاصل از روش عددی، اندازه‌گیری‌های صحرایی و رابطه تجربی دودینگ در سطح خاک.

درصد اختلاف داده‌های اندازه‌گیری شده‌ی صحرایی با روش عددی		بیشینه سرعت ذره (mm/s)			فاصله‌ی شعاعی نقاط اندازه‌گیری تا محل انفجار (m)	ردیف
روش عددی	روش دودینگ	روش عددی	روش صحرایی	روش دودینگ		
۱/۶	۴۴,۵	۱۲۸,۶	۷۰,۲	۱۲۶,۵۲	۱۶,۳	۱
۸	۴۳,۹	۱۰۵,۹	۵۴,۹۷	۹۸,۰۲	۱۸,۶۳	۲
۳۲	۵۵,۷	۵۲	۱۷,۴	۳۹,۳	۳۰,۰۵	۳
۷۱	۴۷	۲۲,۶۸	۷	۱۳,۲۶	۵۳,۰۹	۴

جدول ۸. مقادیر شار انرژی ورودی، انتقالی، انعکاسی و درصد انرژی انتقالی، انعکاسی و جذب شده.

درصد انرژی جذب شده	درصد انرژی جذب شده	درصد انرژی انتقالی	شار انرژی انعکاسی ( $\frac{\text{J}}{\text{m}^2 \cdot \text{sec}}$ )	شار انرژی انتقالی ( $\frac{\text{J}}{\text{m}^2 \cdot \text{sec}}$ )	شار انرژی ورودی ( $\frac{\text{J}}{\text{m}^2 \cdot \text{sec}}$ )	محیط خمیری
%۶۲	%۷۸	%۴	۷۹۸	۳۹	۱۰۲۲	

مقایس شده دارد. درحالی که درصد اختلاف داده‌های صحرایی با روش دودینگ با افزایش فاصله مقایس شده با شبی نسبتاً زیادی کاهش می‌یابد. شکل ۱۶ نشان می‌دهد که در سطح لایه خاک نیز درصد اختلاف داده‌های صحرایی با روش عددی واپتگی کمتری به فاصله مقایس شده دارد. درحالی که درصد اختلاف داده‌های صحرایی با روش دودینگ تا فاصله مقایس شده ۱۴ کمتر بوده و پس از آن درصد اختلاف نسبت به روش عددی فزونی می‌گیرد. بنابراین نتایج بدست آمده از تحلیل عددی پایاتر از نتایج حاصل از روش‌های تجربی است.

در شکل ۱۳ رابطه بیشینه سرعت ذره‌بی حاصل از انفجار با فاصله مقیاس شده (فاصله نقطه اندازه‌گیری بر حسب متر به ریشه سوم بیشینه وزن ماده منفجره در هر تأخیر بر حسب کیلوگرم) در فصل مشترک سنگ-خاک برای حالت‌های عددی، اندازه‌گیری‌های صحرایی و رابطه تجربی دودینگ نشان داده شده است. چنان‌که ملاحظه می‌شود بیشینه سرعت ذره‌بی پیش‌بینی شده روی فصل مشترک سنگ-خاک توسط رابطه تجربی دودینگ با مقادیر اندازه‌گیری شده صحرایی -- به ویژه برای فواصل مقایس شده کم -- اختلاف واضحی دارند، درحالی که مقادیر پیش‌بینی شده روی فصل مشترک با تحلیل عددی به مقادیر اندازه‌گیری شده صحرایی بسیار نزدیک است.

در شکل ۱۴ رابطه بیشینه سرعت ذره‌بی با فاصله مقیاس شده در سطح خاک برای حالت‌های عددی، اندازه‌گیری‌های صحرایی و رابطه تجربی دودینگ نشان داده شده است. در این حالت مقادیر بیشینه سرعت ذره‌بی پیش‌بینی شده توسط رابطه تجربی دودینگ بیشتر از مقادیر اندازه‌گیری شده صحرایی است و دلیل آن نیز این است که این رابطه تجربی یک رابطه کلی است و از مطالعه و اندازه‌گیری در مناطق و شرایط متعدد و مختلف به دست آمده و مقادیر پیش‌بینی شده با تحلیل عددی به ویژه برای فاصله مقیاس شده کم اختلاف محسوسی با مقادیر اندازه‌گیری شده صحرایی دارد. چنان‌که در شکل ۱۵ ملاحظه می‌شود در امتداد فصل مشترک سنگ-خاک، درصد اختلاف داده‌های صحرایی با روش عددی واپتگی کمتری به فاصله

۶. نتیجه‌گیری  
در این نوشتار سازوکار تشکیل و انتشار امواج حاصل از انفجار در یک توده‌سنگ با استفاده از روش عددی و نیز روش اجزاء مجرای کلی مدل‌سازی و صحت نتایج به دست آمده با نتایج آزمایشات میدانی انجام شده توسط وو (۲۰۰۳) در محیط سنگی شامل سنگ گرانیت و لایه خاک اثبات شده است. مقایسه تحلیلی آزمایشات میدانی انجام شده و نتایج مدل‌سازی عددی آن نشان می‌دهد که مقادیر بیشینه سرعت ذره‌بی پیش‌بینی شده در فصل مشترک توده‌سنگ گرانیتی و لایه خاک مدل‌سازی شده به روش عددی به مقادیر اندازه‌گیری شده صحرایی بسیار نزدیک است. تطبیق نتایج تحلیل عددی با نتایج صحرایی مؤید صحت روش عددی انتخابی است.

## پانوشت

1. dowding.
2. heterogenous.
3. anisotropic.
4. universal distinct element code (UDEC).
5. moher-coulomb model.
6. plastic material model.
7. shear yield surface.

## منابع

1. Cai, J.G.;and Zhao, J. "Effects of multiple parallel fractures on apparent attenuation of stress waves in rock mass", *Int. J. Rock Mech. Mining Sci.*, **37**, pp. 661-682, (2000).
2. Hustrulid, W. Blasting principles for open pit mining, A.A. Balkema, Rotterdam, (1999).
3. Wu, C.; Hao, H.; Lu, Y.;and Zhou, Y. "Characteristics of stress waves recorded in small-scale field blast tests on a layered rock -soil site", *Geotechnique*, **53**(6), pp. 587-599, (2003).
4. Dowding, C.H. Blast vibration monitoring and control, Prentice-Hall Inc, (1985).
5. Chen, S.G.;and Zhao, J. "A study of UDEC modeling for blast wave propagation in jointed rock masses", *Int J Rock Mech Min Sci*, **35**, pp. 93-99, (1998).
6. Liu, Q.; Tidman, P. "Estimation of the dynamic pressure around a fully loaded blasthole", *Technical Report MRL 95-014*, CANMET/MRL, 15p, (1995); <http://www.nrcan.gc.ca>.
7. Akhavan, J. "The chemistry of explosives", Thomas Graham House, The Science Park, Cambridge, (1998).
8. Kuhlemeyer, R.L.;and Lysmer, J. "Finite element method accuracy for wave propagation problems", *J. Soil Mech. and Foundations, Div ASCE*, **99**(SM5), pp. 421- 427, (1973).
9. Bakhshandeh Amniah, H. Numerical analysis of the effect of blast-induced stress wave propagation on major rock mass discontinuities, PhD thesis (in Farsi with abstract in English), Amirkabir University of Technology, (2006).